# ANALISA KEKUATAN PIN *CHAIN CONVEYOR* MENGGUNAKAN BAJA *PLAIN BAR* JIS G 3112 DENGAN *HEAT TREATMENT* PADA DISAIN MATERIAL *RECLAIMER*

### **Oktovianus Dharma Rerung**

Jurusan Teknik Mesin, Program Studi D4 Produksi dan Perawatan Politeknik Neger Kupang

Email: Email: <u>s55\_mr@yahoo.co.id</u>, <u>dharmarerung@gmail.com</u>.

### Fransiskus Sapar

Jurusan Teknik Mesin, Program Studi D3 Teknik Otomotif Politeknik Neger Kupang Email address: saparf45@gmail.com

### **Roymons Jimmy Dimu**

Jurusan Teknik Mesin, Program Studi D4 Produksi dan Perawatan Politeknik Neger Kupang Email address: <a href="mailto:roydimu@gmail.com">roydimu@gmail.com</a>

### Reynaldy M. Manuolla

Jurusan Teknik Mesin, Program Studi D4 Produksi dan Perawatan Politeknik Neger Kupang Email address: reynaldymanuolla@gmail.com

#### **ABSTRAK**

Salah satu komponen dari chain conveyor adalah pin untuk menghubungkan pelat-pelat, membentuk suatu *chain*. *Pin chain* ini harus mampu menahan beban berat saat peralatan beroperasi, seperti yang terlihat pada kasus reclaimer pada pabrik-pabrik dengan pekerjaan curah. Penelitian ini bertujuan untuk merancang bahan pin chain menggunakan baja Plain Bar JIS G 3112. Studi ini menggunakan eksperimen heat treatment dengan case hardening dan Spheroidized Annealing. Desain Eksperimen (DOE) dengan analisa faktor diperlukan untuk menganalisis dengan faktorfaktor yang berpengaruh terhadap respon kekerasan dan respon kekuatan yielding point. Pengujian mencakup uji tarik, uji kekerasan, metalografi, dan pengujian komposisi kimia menggunakan Energy Dispersive X-Ray (EDX). Hasil penelitian menunjukkan bahwa baik faktor quenching maupun waktu secara signifikan memengaruhi respon kekerasan maupun respon kekuatan tarik yielding point. Observasi metalografi menunjukkan adanya struktur martensitik, perlitik, dan austenitik stabil pada permukaan baja. Pemanasan ulang mengurangi kekerasan dan kekuatan tarik, tetapi tetap mempertahankan kekuatan bahan. Proses ini juga meratakan struktur mikro dan membentuk fase austenit yang lebih stabil. Pengujian komposisi kimia mengungkapkan peningkatan kadar karbon, mangan, silikon, dan aluminium, yang memengaruhi sifat bahan. Karbon membentuk karbida, sedangkan mangan menstabilkan fase austenit. Mangan membentuk austenit, meningkatkan ketangguhan, dan silikon meningkatkan kekuatan.

Kata kunci: pin chain, Plain Bar JIS G 3112, heat treatment, DOE, metalografi, EDX

### **ABSTRACT**

One of the components of a chain conveyor is the pin used to connect the plates, forming a chain. These chain pins must be able to withstand heavy loads when the equipment is in operation, as seen in the case of reclaimers in bulk handling facilities. This research aims to design the chain pin material using Plain Bar JIS G 3112 steel. The study employs heat treatment experiments

ISSN: 2252-4983

involving case hardening and Spheroidized Annealing. Design of Experiments (DOE) with faktor analysis is needed to analyze the faktors influencing the hardness response and yielding point strength response. Testing includes tensile testing, hardness testing, metallography, and chemical composition testing using Energy Dispersive X-Ray (EDX). The research results show that both quenching and time significantly affect both hardness and tensile strength yielding point responses. Metallographic observations reveal the presence of martensitic, pearlitic, and stable austenitic structures on the steel's surface. Reheating reduces hardness and tensile strength but maintains material strength. This process also evens out the microstructure and forms a more stable austenitic phase. Chemical composition testing reveals increased levels of carbon, manganese, silicon, and aluminum, which impact the material's properties. Carbon forms carbides, while manganese stabilizes the austenitic phase. Manganese forms austenite, enhancing toughness, and silicon increases strength.

Keywords: pins chain, Plain Bar JIS G 3112, heat treatment, DOE, metalografi, EDX

### 1. PENDAHULUAN

Kemajuan terbaru dalam teknik manufaktur telah menghadirkan kemungkinan baru untuk pembuatan komponen logam. Industri 4.0 merupakan istilah kolektif untuk sejumlah teknologi yang diyakini mampu meningkatkan produktivitas industri secara signifikan.Istilah Industri 4.0 sendiri secara resmi lahir di Jerman tepatnya saat diadakan Hannover Fair pada tahun 2011 [1]. Chain conveyor adalah salah satu peralatan yang bekerja cukup berat untuk mengintegrasikan proses transportasi material antara area atau proses dalam area tersebut. Bagian alat yang dimaksud adalah Stacker dan Reclaimer [2]. Fungsi dari kedua alat tersebut adalah mengambil limestone (batu kapur) atau clay (tanah liat) dengan kemiringan tertentu pada arah penumpukan untuk proses preblending atau prehomogenisasi. Salah satu peralatan Reclaimer adalah Chain conveyor, dimana chain memiliki pin semacam pasak untuk menghubungkan satu plat chain dengan plat lainnya membentuk rantai [3]. Pin chain ini bekerja sangat berat menahan tarikan pada saat peralatan bekerja. Sebagai contoh obyek peralatan reclaimer yang diteliti mempunyai kapasitas operasional 80 ton per jam. Karena pekerjaan yang berat maka pin ini sering rusak atau patah dimana chain menjadi putus mengakibatkan proses blending seperti tersebut di atas menjadi berhenti [4][3]. Salah satu cara menanggunangi adalah dengan mengganti pin atau jika platnya rusak, maka harus mengganti dua mata chain. Berdasarkan permasalahan tersebut di atas, maka terbersit pola penyelesaian masalah dengan membuat pin chain tersebut dengan menggunakan material yang cukup mudah diperoleh di pasaran yaitu baja tulangan sesuai SNI 2052:2017 adalah Plain Bar JIS G 3112 2 [5][6]. Baja tulangan ini berkekuatan yielding point minimal 280 N/mm², merupakan salah satu material baja yang lunak dan tegangan tarik cukup rendah. Tentunya material tersebut membutuhkan heat treatment tertentu untuk meningkatkan kekuatan mencapai kekuatan pin chain conveyor atau bahkan melebihinya. Selain industri semen, pabrik mineral lainnya, Pembangkit Listrik Tenaga Uap (PLTU) dan pertambangan mengenal sistem reclaiming untuk mentransfer batu bara dalam transportasinya[7][8]. Mengingat hampir 80-90 % industri manufaktur menggunakan logam, maka teknologi rekayasa bidang tersebut berkembang sangat pesat[9]. Tantangan dari penelitian ini adalah bagaimana merancang Design of Experiments (DOE) dengan analisa faktor material pin chain dengan tahapan-tahapan proses heat treatment yaitu case hardening dan annealing untuk dengan respon kekerasan yang cukup dan tegangan yielding point ~ 400 N/mm<sup>2</sup> [3][10]. Metode penelitian yang digunakan adalah dengan metode eksperimen sungguhan [11] dan membuat analisa faktor berdasarkan Design of Experiments (DOE) [12]. Tahapan penelitian dimulai dengan pembuatan pin dengan bahan Plain Bar JIS G 3112 menggunakan mesin bubut. Selanjutnya melakukan heat treatment dengan proses case hardening menggunakan pemanasan tinggi pada daerah austenite dengan media serbuk batu mangan dan arang kayu kesambi [13]. Kedua jenis media ini dipilih dan menjadi sangat penting dalam proses pirometalurgi karena mengandung karbon, mangan dan logamlogam lainnya yang dibutuhkan dalam proses difusi case hardening [14][15]. Proses lainnya adalah pendinginan proses dengan beberapa media pendingin yang disebut quenching dan annealing.

Annealing dilakukan untuk mengembalikan sifat-sifat baja yang terjadi akibat proses deformasi dingin [3]. Proses anil dilakukan jika proses case hardening menghasilakan kekerasan material menjadi sangat tinggi dan menjadi getas[16][17]. Untuk menunjukkan informasi kualitas material dengan pengujian-pengujian yaitu pengujian tarik, pengujian kekerasan, pengujian struktur mikro dan pengujian komposisi kimia dengan EDX (Energy Dispersive X-Ray). Jika memperhatikan Design of Experiments (DOE) yang melibatkan dua faktor, yaitu case hardening dengan Heat Treatment berpendingin diesel oil dan oil SAE 30 (Q1 dan Q2) dan Waktu (t1, t2, t3), dengan respon berupa tingkat kekerasan (HRC) dan Tegangan Tarik Yield Point (N/mm²), metalografi dan pengujian komposisi kimia akan banyak hal menarik untuk pembahasan selanjutnya.

#### 2. METODOLOGI PENELITIAN

Penelitian mempunyai dua macam signifikansi, yaitu signifikansi teoritis karena ia dapat mengembangkan teori, dan signifikansi praktis karena ia dapat memberi bantuan dalam memecahkan masalah [18]. Untuk pembuatan pin *reclaimer* dengan menggunakan baja tulangan Plain Bar JIS G 3112 dan pengerasan *case hardening*, menggunakan metodologi experiment sungguhan [19]. Produk yang ingin dikembangkan dari penelitian ini adalah pin yang banyak digunakan dalam keperluan-keperluan teknik. Secara umum produk ini sudah banyak diproduksi dank arena bentuknya yang sederhana dan gampang dibuat. Tapi menggunakan material baja karbon sesuatu yang mungkin masih jarang digunakan. Produk ini tentu sangat berguna khusus untuk tujuan alat reclaimer pada pabrik.

### 2.1 Desain Pin

Dari disain tersebut diatas digunakan pada *chain reclaimer* [20]. Jenis pin tersebut adalah yang paling sederhana dimana di kedua bahagian ujung terdapat lubang yang berfungsi sebagai tempat pengikat yang disebut sebagai cotton pin (dapat dilihat pada gambar 1).



Gambar 1. Reclaimer Chain Conveyor pin

### 2.2 Design of Experiment (DOE)

Design of Experiment (DOE) adalah alat yang ampuh untuk mencapai peningkatan kualitas produk yang signifikan dan efisiensi proses. Cara ini dapat diperoleh data yang cukup dengan sejumlah kecil penyelidikan karena itu memungkinkan perubahan beberapa secara simultan dan terus menerus parameter eksperimental dalam jangka waktu yang lama [21]. Di dalam percobaan faktorial, selain mengetahui pengaruhnya masing-masing faktor, dimungkinkan juga untuk mengetahui efek gabungannya (interaksi) dari faktor-faktor yang dicoba [15]. Untuk pengujan case hardening dengan pengujan eksperimen sungguhan dan pengujian Annealing menggunakan DOE dengan anasisis faktorial dengan dua faktor pada tiga level yaitu faktor quenching/pendingin (Q) dan Temperatur Annealing (t) pada tiga level temperatur 700°C pada holding time (t1), (t2) dan (t3) dan level quenching diesel oil (Q1) dan oil SAE 30 (Q2). Tujuan utama dari salah satu cara ANOVA

ISSN: 2252-4983

adalah menguji apakah dua kelompok atau lebih berbeda satu sama lain secara signifikan dalam satu atau lebih karakteristik. ANOVA faktorial membandingkan rata-rata dua atau lebih variabel independen. Tujuan utama dari salah satu cara ANOVA adalah menguji apakah dua kelompok atau lebih berbeda satu sama lain secara signifikan dalam satu atau lebih karakteristik. ANOVA faktorial membandingkan rata-rata dua atau lebih variabel independen [22].

- 1. Faktor: faktor quenching/pendingin (Q) dengan diesel oil (Q1) dan oil SAE 30 (Q2); dan faktor Temperatur Spheroidized Annealing (t)
- 2. Level: holding time (t1) 30 menit, (t2) 60 menit dan (t3) 90 menit
- 3. Respon: Hardness (HRC dan Yielding point (N/mm²)
- 4. Variabel kontrol, pengamatan hasil uji metalografi, Nilai hasil Pengujian komposisi kimia material dengan *Energy Dispersive X-Ray* (EDX)

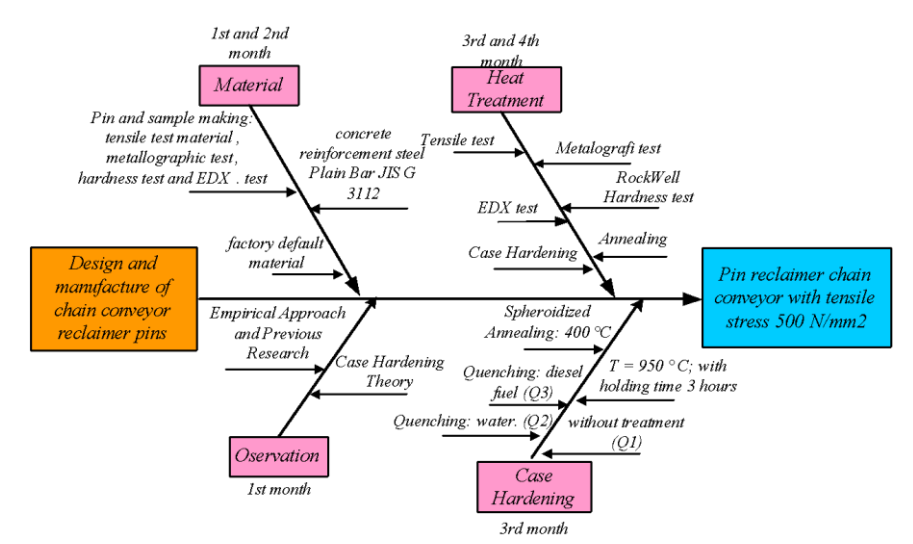
Format pengambilan data proses hardening dan Annealing yang menghasilkan data-data pengujian kekerasan dan pengujian tarik seperti pada Tabel 1.

Tabel 1. Rancangan Eksperimen Case Hardening dengan arang kusambi dan serbuk batu mangan

	mangan			
Case Hardening	Level			
Suhu perlakuan	900°C	900°C		
Holding Time	3 hours	3 hours		
Media pendingin	Diesel oil	Oil SAE 30		
Arang kesambi, bubuk mangan	50 %	50 %		
Spheroidized Annealing	400 °C	400 °C		
Holding Time	30 minutes	60 minutes 90 minutes		

### 2.3 Road Map Penelitian

Diagram dan analisis tulang ikan biasanya mengevaluasi penyebab dan sub-penyebab dari satu masalah tertentu dan oleh karena itu membantu dalam memprediksi masalah dengan berfokus pada akar penyebab [21]. Selain itu diagram tulang ikan juga dapat menggambarkan proses atau jalannya penelitian dari awal hingga akhir. *Cause* and *effect* diagram tersebut di bawah ini yang menganalisis akar penyebab masalah pin reclaimer chain conveyor yang sering rusak dan diganti membutuhkan suku cadang yang banyak. Ada dua proses penting dari penelitian adalah proses *case hardening* dan *Annealing* yang berpengaruh pada respon kekerasan[20][17]. Dua proses tersebut menjadi kunci keberhasilan rekayasa material spare part reclaimer chain. Pengujian-pengujian yang dilakukan akan memberikan informasi kekuatan atau kualitas material diukur dari kekuatan tari dan kekerasan material sedangkan pengujian EDX dan metalografi [6] sebagai variabel kontrol. Analisa itu mencoba menjawab dengan merekayasa sendiri pin yang berkualitas dengan proses pengerjaan, treatment dan pengujian digambarkan dalam proses penelitian seperti terlihat pada Gambar 2.



Gambar 2. Cause and Effect Diagram pin chain reclaimer

### 3. HASIL DAN PEMBAHASAN

## 3.1 Analysis of Variance (ANOVA)

Analysis of Variance (ANOVA) dalam DOE adalah teknik statistik yang digunakan untuk mengidentifikasi apakah ada perbedaan signifikan antara rata-rata kelompok atau perlakuan yang berbeda dalam sebuah eksperimen. Fungsi utama ANOVA adalah untuk menguji apakah faktorfaktor tertentu memiliki pengaruh nyata terhadap hasil atau variabel yang sedang diamati. Pada intinya, DOE terdiri dari menginduksi variabilitas kesalahan pengukuran dan, dalam hal ini, tepatnya analisis statistik varians (ANOVA) yang biasanya direkomendasikan dan digunakan untuk pemrosesan dan mencapai interpretasi hasil yang lebih baik [22].

Tabel 2 menunjukkan pengujian dalam eksperimen faktorial 2 faktor dengan pengulangan adalah alat yang digunakan untuk merencanakan, mengatur, dan menganalisis uji kekerasan dengan metode *Design of Experiments* (DOE) yang melibatkan dua faktor, yaitu *Heat treatmen* (Q1 dan Q2) dan Waktu (t1, t2, t3), dengan respon berupa tingkat kekerasan (HRC) dan Tegangan Tarik *Yield Point* (N/mm²), serta pengulangan sebanyak lima kali. Tabel hasil percobaan di bawah in mencatat hasilnya, dan menganalisis dampak faktor-faktor tersebut pada respons yang diamati.

Jika faktor-faktor tersebut di atas berpengaruh nyata, ANOVA akan membantu dalam:

- Mendeteksi perbedaan antara kelompok: ANOVA memungkinkan Anda untuk menentukan apakah terdapat perbedaan signifikan antara kelompok perlakuan atau faktor yang berbeda dalam eksperimen. Ini dapat mengidentifikasi pengaruh faktor-faktor tersebut terhadap hasil yang diamati.
- 2. Mengukur seberapa besar pengaruh: ANOVA juga memberikan informasi tentang seberapa besar pengaruh faktor-faktor tersebut. Ini memungkinkan Anda untuk menentukan apakah perbedaan yang diamati cukup besar untuk dianggap signifikan secara statistik.
- 3. Menghindari kesalahan tipe I: Dengan melakukan pengujian statistik yang sesuai, ANOVA membantu dalam menghindari kesalahan tipe I, yaitu kesalahan yang terjadi ketika kita salah menyimpulkan bahwa ada perbedaan signifikan ketika sebenarnya tidak ada.
- 4. Membantu dalam pengambilan keputusan: Hasil dari analisis ANOVA dapat digunakan untuk membuat keputusan yang relevan dalam penelitian atau eksperimen, seperti menentukan perlakuan atau faktor mana yang paling efektif.

Fungsi utama ANOVA adalah untuk menguji dan mengukur pengaruh faktor-faktor yang berbeda terhadap variabel yang diamati dan membantu dalam membuat kesimpulan yang kuat berdasarkan data statistik.

ISSN: 2252-4983

Tabel 2. Tabel hasil uji kekerasan dengan Spheroidized Annealing

Dagmagng	Heat treament	Su agim an	Case Hardening		Spheroidized Annealing temperature 400°C with holding time (minute)			
Resposns with quenching	Spesimen	900°C	30 minutes (t1)	60 minutes (t2)	90 minutes (t3)	- Average		
		1	48,00	46,78	43,88	35,98	42,21	
		2	46,00	44,13	47,34	40,12	43,86	
	diesel oil (Q1)	3	51,00	45,45	46,27	38,74	43,49	
		4	45,00	44,67	43,48	42,91	43,69	
		5	43,00	47,24	41,99	36,52	41,92	
Hardness	-	Average	46,60	45,65	44,59	38,85	43,03	
(HRC)		1	50,66	44,74	43,82	42,00	43,52	
		2	49,77	45,00	49,65	38,00	44,22	
	oil SAE 30 (Q2)	3	48,45	49,12	47,97	45,00	47,36	
	(2)	4	52,88	44,64	46,78	43,00	44,81	
		5	44,00	43,39	44,88	37,81	42,03	
		Average	49,15	45,38	46,62	41,16	44,39	

Analisa faktor, juga dikenal sebagai analisis faktor atau analisis komponen utama, adalah suatu metode statistik yang digunakan untuk mengidentifikasi pola dan hubungan antara berbagai variabel yang mungkin berkorelasi dalam satu set data. Tujuan utama dari analisis faktor adalah untuk mengurangi kompleksitas data dengan mengidentifikasi faktor-faktor atau dimensi-dimensi utama yang mendasari variasi dalam data tersebut. Dengan kata lain, analisis faktor membantu mengidentifikasi variabel-variabel yang saling terkait dan menjelaskannya dengan lebih sedikit faktor atau dimensi yang lebih sederhana. Dalam tabel di atas, terdapat 30 percobaan yang terdiri dari kombinasi antara dua faktor Treatmen (Q1 dan Q2) dan tiga faktor Waktu (t1, t2, t3). Respon berupa tingkat kekerasan (HRC) yang dicatat dalam kolom "Kekerasan (HRC)" setelah setiap percobaan selesai. Setelah mengisi tabel dengan data hasil uji kekerasan, Anda dapat menganalisis dampak Treatmen dan Waktu terhadap respon kekerasan menggunakan berbagai metode statistik, seperti analisis variansi (ANOVA), untuk menentukan apakah ada perbedaan yang signifikan antara kelompok-kelompok tersebut sebagai berikut:

Tabel 3. Analysis of Variance

		Tai	oei 3. An	aiysis oj	variance				
Source	ŊΕ	1 d; CC	A J; MC	F Value	P-Value		able	Explanation	
Source	Dr	Auj SS	Auj MS	r-vaiue	r-vaiue	0,05	0,01	Елрининон	
Q faktor	1	13,74	13,736	2,38	0,136	4,26	7,82	TN	
t faktor	2	205,61	102,806	17,78	0,000	3,40	5,61	**	
Q faktor*t faktor	2	10,05	5,027	0,87	0,432	3,40	5,61	TN	
Error	24	138,76	5,782						
Total	29	368,16							

Keterangan: \* berpengaruh nyata, \*\* berpengaruh sangat nyata, TN berpengaruh tidak nyata

Tabel 4. Fisher Pairwise Comparisons: Q faktor Grouping Information Using Fisher LSD Method and 95% Confidence

<u>Q</u> faktor	N	Mean	Grouping
Q2	15	44,3867	A
Q1	15	43,0333	A

Tabel 5. Fisher Pairwise Comparisons: t faktor Grouping Information Using Fisher LSD Method and 95% Confidence

t faktor N Mean Grouping

t1	10 45,516	Α		
t3	10 40,008		В	

Tabel 6. Tukey Pairwise Comparisons: Q faktor\*t faktor Grouping Information Using the Tukey Method and 95% Confidence

Q faktor*t faktor	N	Mean	Gra	oup	ing
Q2 t2	5	46,620	A		
Q1 t1	5	45,654	A	В	
Q2 t1	5	45,378	A	В	
Q1 t2	5	44,592	A	В	
Q2 t3	5	41,162		В	C
Q1 t3	5	38,854			C

Interpretasi dari hasil pengujian kekerasan dengan analisa faktor tersebut di atas adalah:

- 1. Pada Tabel 3. Analysis of Variance dinyatakan F value lebih besar daripada nilai kritis dari F table, baik pada probabilita 0,01 maupun 0,05 terlihat pada t faktor atau faktor temperature (t) berpengaruh sangat nyata terhadap respons hardness (HRC). Sedangkan faktor Q dan interaksi keduanya (Q faktor\*t faktor) gagal menolak hipotesis nol disebut berpengaruh tidak nyata (TN).
- 2. Pada Tabel 4 dan Tabel 5. Terlihat Q faktor (Q2 kemudian Q1) merupakan faktor terbaik berdasarkan rata-rata kekerasan dengan keterangan A. Pada t faktor (t2 kemudian t1) merupakan faktor terbaik dengan keterangan A dan t3 faktor terbaik kedua dengan keterangan B.
- 3. Pada Tabel 6, kombinasi Q faktor dan t faktor, terbaik pada faktor Q2 t2 dan selanjutnya secara berurutan Q1t1, Q2 t1, Q1t2, Q2t3 dan faktor kombinasi terakhir pada kombinasi Q1t3 dengan keterangan C. Keterangan C menunjukan faktor terbaik ketiga.

Tabel 7. Tabel hasil uji Tarik Yielding Point dengan Spheroidized Annealing

Tabel 7. Tabel hasii uji Tarik <i>Yielaing Point</i> dengan <i>Spherolatzea Annealing</i>							
	Heat treament with	Spesimen	Case Hardening	tempe	Spheroidized Annealing temperature 400°C with holding time (minute)		
	quenching		900°C	30 (t1)	60 (t2)	90 (t3)	
		1	577,13	532,20	539,51	528,34	533,35
	1: 1 - :1	2	561,54	541,37	540,39	519,46	533,74
	diesel oil	3	535,69	539,00	538,14	526,78	534,64
	(Q1)	4	543,06	543,01	542,87	533,62	539,83
*** 1 1.		5	585,34	530,23	534,66	532,00	532,30
Yielding		Average	560,55	537,16	539,11	528,04	534,77
point (N/mm²)							
(1V/mm²)		1	532,11	532,46	533,45	509,00	524,97
	oil SAE 30	2	530,55	527,38	525,63	516,00	523,00
		3	550,69	520,00	523,98	520,00	521,33
	(Q2)	4	537,90	515,00	513,99	530,00	519,66
		5	539,58	521,21	519,77	509,00	516,66
		Average	538,17	523,21	523,36	516,80	521,12

Tabel 8. Analysis of Variance

<b>C</b>	DE	1 1: CC	A J. MC	E 17-1	D X7-1	FT	able	Explanation
Source	DF .	Aaj 88	Aaj MS	r-value	P-value	0,05	0,01	Explanation
Q Faktor			1396,87		0,000			**
t Faktor	2	463,98	231,99	5,65	0,010	3,40	5,61	**
Q Faktor*t Faktor	2	25,77	12,89	0,31	0,734	3,40	5,61	TN

Error	24 986,24	41,09
Total	29 2872.87	

Keterangan: \* berpengaruh nyata, \*\* berpengaruh sangat nyata, TN berpengaruh tidak nyata

Tabel 9. Grouping Information Using the Tukey Method and 95% Confidence

Q Faktor	N	Mean	Grouping	
Q1	15	534,772	A	_
Q2	15	521,125	В	

Tabel 10. Tukey Pairwise Comparisons: t Faktor
Grouping Information Using the Tukey Method and 95% Confidence

t Faktor	N	Mean	Grouping
t2	10	531,239	A
t1	10	530,186	A
t3	10	522,420	В

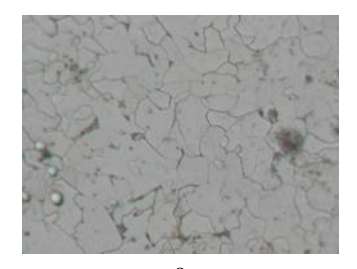
Tabel 11. Tukey Pairwise Comparisons: Q Faktor\*t Faktor Grouping Information Using the Tukey Method and 95% Confidence

<b>Q</b> Faktor*t Faktor	N	Mean	Grouping
Q1 t2	5	539,114	A
Q1 t1	5	537,162	A
Q1 t3	5	528,040	A B
Q2 t2	5	523,364	В
Q2 t1	5	523,210	В
Q2 t3	5	516,800	В

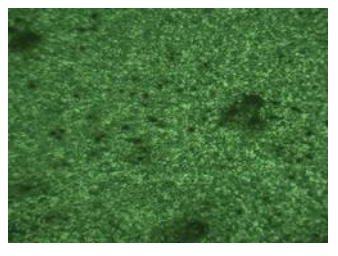
Interpretasi dari hasil pengujian tegangan yielding point ( $\sigma$  yp) dengan analisa faktor tersebut di atas adalah:

- Pada Tabel 8. Analysis of Variance dinyatakan F value lebih besar daripada nilai kritis dari F table, baik pada probabilita 0,01 maupun 0,05 terlihat pada Q faktor dan t faktor berpengaruh sangat nyata terhadap respons tegangan yielding point σ yp (N/mm²).. Sedangkan interaksi keduanya (Q faktor\*t faktor) gagal menolak hipotesis nol disebut berpengaruh tidak nyata (TN).
- 2. Pada Tabel 9 dan Tabel 10. Terlihat Q faktor (Q1 kemudian Q2) merupakan faktor terbaik berdasarkan rata-rata kekerasan dengan keterangan A. Pada t faktor (t2 kemudian t1) merupakan faktor terbaik dengan keterangan A dan t3 faktor terbaik kedua dengan keterangan B.
- 3. Pada Tabel 11, kombinasi Q faktor dan t faktor, disajikan faktor terbaik pada faktor Q1t2 dan Q1t1 kemudian secara berurutan Q1t3 dengan keterangan terbaik A dan B, Q2 t2, Q2t1, dan Q2t3 dengan keterangan B.

# 3.2 Metalografi





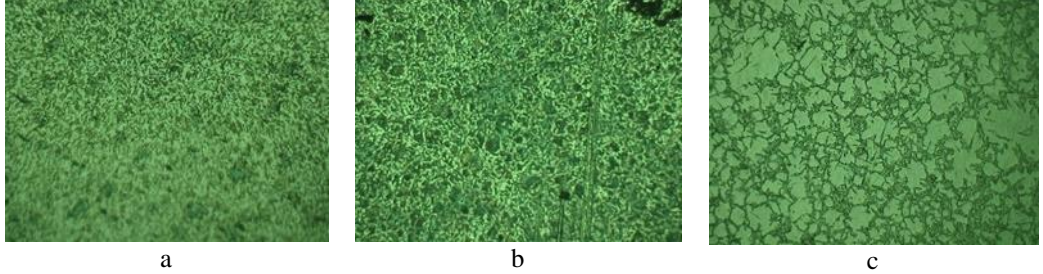


# Gambar 3. Mikro Struktur Plain Bar JIS 3112 sebelum dan setelah case hardening (a) Microstruktur tanpa perlakuan (b) dan (c) Microstruktur case hardening

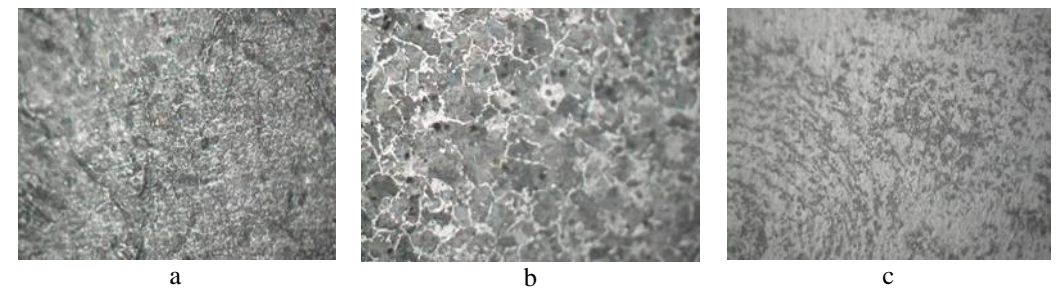
Tanpa perlakuan baja karbon rendah Plain Bar JIS 3112, Gambar 3 bagian a, kristal pada yang terbentuk adalah ferit dan perlit, yaitu ferit atau disebut juga besi alfa adalah istilah material untuk besi murni dengan struktur kristal body centered cubic (BCC). Perlit merupakan suatu fasa yang mengandung 0,83 % karbon yang terdiri dari campuran ferit dan sementit. Dalam hal karateristik, perlit memiliki struktur yang lebih keras dibanding ferit, disebabkan adanya fasa sementit dalam bentuk lamelar, dimana sementit memiliki sifat yang keras sedangkan ferit sifatnya lunak dan ulet.

Case hardening Microstruktur metalografi dari baja karbon rendah JIS 3112 Gambar 3 bahagian b dan c menunjukkan microstruktur metalografi yang telah mengalami perlakuan case hardening (carburizing padat) temperatur pada 900°C. Gambar b menggunakan arang dan serbuk batu mangan dengan holding time 3 jam dan pendingin solar menunjukkan perubahan kearah struktur martensit, perlit dan stabil pada fasa austenit. Demikian juga pada pendingin oil SAE 30 gambar c, walaupun sedikit lebih lambat dari pada solar tetapi tetap menghasilkan butiran struktur perlit yang lebih banyak diselingi struur martensit yang tajam dan keras. Dengan hasil pengujian tersebutdapat menunjukkan perubahan kenaikan kekerasan dan kenaikan tegangan Tarik seperti

dalam table pengujian analisa faktor Tabel 2 dan Tabel 8.



Gambar 4. Mikro Struktur Mikro Struktur Plain Bar JIS 3112 setelah case hardening pendingin diesel oil dan mendapat perlakuan annealing



Gambar 5. Mikro Struktur Mikro Struktur Plain Bar JIS 3112 setelah case hardening pendingin oli SAE 30 dan mendapat perlakuan annealing

Annealing pada 400 °C selama 30 menit, 60 menit dan 90 Menit seperti terlihat pada gambar 11 a,b dan c dan gambar 12 a, b dan c:

- 1. Annealing adalah proses perlakuan panas yang bertujuan untuk mengurangi kekerasan dan meningkatkan ketahanan baja. Ini dilakukan pada suhu yang lebih rendah dibandingkan dengan proses carburizing.
- 2. Annealing pada 400 °C selama 90 menit akan meratakan struktur mikro dari lapisan keras dan inti baja, sehingga mengurangi perbedaan kekerasan antara permukaan dan inti.
- 3. Pada fasa austenite dan dilanjutkan proses annealing membentuk fasa austenite yang lebih

Dengan demikian, hasil mikrostruktur metalografi dari baja tersebut setelah perlakuan ini kemungkinan besar akan menunjukkan dua lapisan yang berbeda secara mikrostruktural yaitu lapisan permukaan (case):

ISSN: 2252-4983

- 1. Lapisan ini akan memiliki struktur yang sangat keras dan mungkin kaya akan fase seperti karbida dan ausenit dengan penambahan beberapa unsur terutama mangan (Mn) pada lapisan permukaan baja.
- 2. Mikrostrukturnya mungkin akan menunjukkan butiran-butiran yang halus dan padat. Lapisan selanjutnya adalah lapisan inti baja:
- 1. Inti baja akan memiliki struktur yang lebih lembut dibandingkan dengan lapisan permukaan.
- 2. Mikrostruktur inti akan mencerminkan baja karbon rendah, dengan butiran-butiran yang lebih besar dan lebih kasar.

Spheroidized annealing adalah proses perlakuan panas yang digunakan pada baja setelah mereka telah mengalami proses pengerasan permukaan (case hardening) seperti carburizing. Tujuan dari spheroidized annealing adalah untuk mengubah struktur mikro baja yang keras dan rapuh hasil dari carburizing menjadi lebih lunak dan lebih tahan terhadap retak. Proses ini umumnya diterapkan pada baja mangan atau baja karbon yang telah mengalami carburizing untuk meningkatkan kekuatan permukaan mereka, tetapi pada saat yang sama membuatnya lebih mudah untuk diolah. Perubahan Struktur Mikro: Proses spheroidized annealing akan merubah struktur mikro baja dari martensit yang keras menjadi struktur yang lebih lembut yang disebut perlite atau spheroidite. Martensit adalah struktur yang sangat keras dan rapuh, sedangkan perlite atau spheroidite adalah lebih lunak dan tahan terhadap retak.

Kekuatan tegangan yielding point ( $\sigma$ yp) dan kekerasan (HRC): Setelah proses *spheroidized* annealing, kekuatan dan kekerasan permukaan baja akan menurun. Namun, baja akan menjadi lebih tahan terhadap dampak dan retakan, sehingga lebih cocok untuk aplikasi yang memerlukan ketahanan terhadap deformasi dan getaran.

### 3.3 Pengujian komposisi kimia material dengan Energy Dispersive X-Ray (EDX)

Secara umum Baja JIS Plain Bar 3112 mempunyai kekuatan tarik *yield point* sekitar 280 N/mm² [23] dengan data spesifikas sebagai berikut:

Tabel 12. Komposisi kimia Baja Plain Bar JIS 3112

1 uo et 120 120 mp osisi minina 2 uja 1 um 2 ut e 122							
JIS	Komposisi kimia(%)						
112	С	M N	Si	S	P	В	
	0,03 ~ O.07	≤0.32	≤0.30	≤0.045	≤0.040	> 0,0008	
Plain Bar	Peralatan mekanis						
3112	Kekuatan luluh (N/mm2) Kekuatan tarik (N/mm2)			Pemanjangan (%)			
	250-280		350-380		>	≥32	

Hasil pengujian dengan komposisi kimia dengan Energy Dispersive X-Ray (EDX) setelah mengalam case hardening dimana sampel uji masih dalam keadaan utuh dan belum dipolish sebagai berikut:

Tabel 13. Komposisi kimia Baja Plain Bar JIS 3112 case hardening dengan pendingin diesel

ou							
E1	AN	Series	unn	C. nor	C.Atom	C.Error	
			(wt.%)	(wt.%)	at.%	%	
Mn	25	K. Series	10,00	11,59	5,99	0,50	
Fe	26	K. Series	47,88	52,68	26,77	2,20	
O	8	K. Series	21,70	23,87	42,35	2,60	
C	6	K. Series	8,93	9,83	23,23	1,20	
Si	14	K. Series	0,62	0,68	0,69	0,10	
Al	13	K. Series	0,06	0,06	0,07	0,00	

Total	96.83	100,00	100,00
1 Otal	90,03	100,00	100,00

Tabel 14. Komposisi kimia Baja *Plain Bar JIS 3112 case hardening* dengan pendingin *oil* SAE 30

5.12.00						
<b>E</b> 1	AN	Series	unn	C. nor	C.Atom	C.Error
			(wt.%)	(wt.%)	at.%	%
Mn	25	K. Series	12,18	13,66	4,90	0,60
Fe	26	K. Series	51,84	52,33	27,26	1,90
O	8	K. Series	24,55	25,34	47,48	2,30
C	6	K. Series	7,78	7,99	19,67	1,10
Si	14	K. Series	0,58	0,64	0,64	0,10
Al	13	K. Series	0,04	0,04	0,04	0,00
		Total	96,83	100,00	100,00	

Beberapa hal menarik dari *Design of Experiments* (DOE) seperti tersebut di atas sebagai berikut:

- 1. Dua faktor Q (*Heat treament with quenching*) dan t (*Spheroidized Annealing temperature 400°C with holding time*) dalam *Design of Experiments* (DOE) berpengaruh nyata terhadap respon kekerasan (HRC) dan Tegangan *yielding point* σyp (N/mm²). Treatment yang dilakukan menyebabkan terjadinya proses difusi Carbon (C) dan Mangan (Mn) pada permukaan baja plain bar. Pengaruhnya pada peningkatan kekerasan dan tegangan tarik. Disebutkan di atas bahwa faktor t berpengaruh sangat nyata terhadap kekerasan dan faktor Q dan t berpengaruh sangat nyata terhadap tegangan yielding point.
- 2. Pengamatan metalografi dari hasil DOE tersebut menunjukkan kedua faktor menghasilkan bentuk kearah struktur martensit, perlit dan stabil pada fasa austenit. Dengan proses difusi maka carbon bertambah dan fase seperti karbida dan ausenit dengan penambahan beberapa unsur terutama mangan (Mn) pada lapisan permukaan baja.
- 3. Tabel 2 dan Tabel 8, Pengujian Kekerasan dan Pengujian Tegangan yielding point menunjukkan penurunan kekerasan dan tegangan dari proses case hardening ke proses annealing tetapi tidak merubah substansi meningkatnya kekuatan material tersebut.Perubahan yang terjadi dari pengamatan metalografi adalah meningkatkan ketahanan baja, meratakan struktur mikro dari lapisan keras dan inti baja, sehingga mengurangi perbedaan kekerasan antara permukaan dan inti dan juga membentuk fasa austenite yang lebih stabil.
- 4. Tabel 14 merupakan pengujian kontrol dari pengujian utama tersebut sebelumnya dimana ingin mebuktikan apakah ada pengaruh lain dari pengaruh faktor Q dan t terhadap respon. Hasil pengujian komposisi kimia menunjukkan pengingkatan unsur karbon ( C ), unsur Mangan (Mn) unsur Si dan Al dalam jumlah sangat sedikit. Pengaruh C membentuk karbida, menurunkan ketahanan koros tetapi menaikkan kekerasan. Pengaruh Mn menstabilkan fasa austenite, menaikkan kekerasan dan ketangguhan dan tahan gesekan. Nikel (Ni) membentuk austenite dan menaikkan keuletan, Silikon (Si) juga menaikkan kekuatan luluh.

### 4. KESIMPULAN

Setelah melakukan penelitian dan pembahasan menghasilkan beberapa hal penting sebagai kesimpulan, yaitu:

a. Faktor media pendingin Q *diesel oil* dan *oil* SAE 30 faktor wakt t dalam *Design of Experiments* (DOE) berpengaruh sangat nyata terhadap respon kekerasan (HRC) dan Tegangan *yielding point* σyp (N/mm²). Faktor waktu t berpengaruh sangat nyata terhadap respon kekerasan (HRC) dan faktor media pending Q dan faktor waktu t berpengaruh sangat nyata terhadap respon tegangan *yielding point* σyp (N/mm²).

ISSN: 2252-4983

b. Pengamatan metalografi dari hasil DOE tersebut menunjukkan kedua faktor menghasilkan bentuk kearah struktur martensit, perlit dan stabil pada fasa austenit. Dengan proses difusi maka carbon bertambah dan fase seperti karbida dan ausenit dengan penambahan beberapa unsur terutama mangan (Mn) pada lapisan permukaan baja.

- c. Pengujian Kekerasan dan Pengujian Tegangan yielding point menunjukkan penurunan kekerasan dan tegangan dari proses case hardening ke proses annealing tetapi tidak merubah substansi meningkatnya kekuatan material tersebut. Perubahan yang terjadi dari pengamatan metalografi adalah meningkatkan ketahanan baja, meratakan struktur mikro dari lapisan keras dan inti baja, sehingga mengurangi perbedaan kekerasan antara permukaan dan inti dan juga membentuk fasa austenite yang lebih stabil.
- d. Hasil pengujian komposisi kimia menunjukkan pengingkatan unsur karbon (C), unsur Mangan (Mn) unsur Si dan Al dalam jumlah sangat sedikit. Pengaruh C membentuk karbida, menurunkan ketahanan koros tetapi menaikkan kekerasan. Pengaruh Mn menstabilkan fasa austenite, menaikkan kekerasan dan ketangguhan dan tahan gesekan. Nikel (Ni) membentuk austenite dan menaikkan keuletan, Silikon (Si) juga menaikkan kekuatan luluh.

### **DAFTAR PUSTAKA**

- [1] H. Prasetyo and W. Sutopo, "Industri 4.0: Telaah Klasifikasi Aspek Dan Arah Perkembangan Riset," J@ti Undip J. Tek. Ind., vol. 13, no. 1, p. 17, 2018, doi: https://dx.doi.org/10.14710/jati.13.1.17-26
- [2] I. O. Rim, "Power and Performance for The Cement Industry," 2016.
- [3] S. Jiang et al., "Dynamic Analysis of the Scraper Conveyor under Abnormal Speed Characteristics," vol. 2021, 2021.
- [4] B. Setiyana, "Optimasi Jarak Adjustment Tensioning Device Pada Drag Chain Conveyor," Rotasi, vol. 10, no. 1, pp. 37–42, 2008, doi: <a href="https://dx.doi.org/10.14710/rotasi.10.1.37-42">https://dx.doi.org/10.14710/rotasi.10.1.37-42</a>
- [5] SNI 2052, "Baja tulangan beton," Badan Standarisasi Nas., p. 15, 2017.
- [6] G. Winiarski and T. Bulzak, "Parameters on the Microstructure Hardness, and," pp. 6–8, 2022.
- [7] R. E. Izzaty, B. Astuti, and N. Cholimah, "CAKAR TAMBAHAN PADA FLIGHT BAR UNTUK PENCEGAH PULGGING CASE CONVEYOR SISTEM RECLAMING PLTU TARAHAN," Angew. Chemie Int. Ed. 6(11), 951–952., pp. 5–24, 1967.
- [8] U. N. Gatade, "Design Analysis and Optimization of Drag Chain Conveyor System for Coal Application," vol. 9, no. 05, pp. 1196–1199, 2020.
- [9] W. Bleck and C. Haase, Physical metallurgy of high manganese steels, Special Is., vol. 9, no. 10. MDPI•Basel•Beijing•Wuhan•Barcelona•Belgrade: MDPI St. Alban-Anlage 66 4052 Basel, Switzerland, 2019. doi: <a href="https://dx.doi.org/10.3390/met9101053">https://dx.doi.org/10.3390/met9101053</a>
- [10] O. D. Rerung, F. Sapar, and R. J. Dimu, "Study About Normalizing of AISI 1010 Steel Result Hardened by Manganese Stone Powder Using True Experimental Method," vol. 208, no. Icist 2020, pp. 422–427, 2021.
- [11] A. Jaedun, "Oleh: Amat Jaedun," Metodol. Penelit. Eksperimen, pp. 0–12, 2011.
- [12] M. de Oliveira, V. M. Lima, S. M. A. Yamashita, P. S. Alves, and A. C. Portella, "Experimental Planning Factorial: A brief Review," Int. J. Adv. Eng. Res. Sci., vol. 5, no. 6, pp. 166–177, 2018, doi: <a href="https://dx.doi.org/10.22161/ijaers.5.6.28">https://dx.doi.org/10.22161/ijaers.5.6.28</a>

- [13] O. D. Rerung, J. T. Mesin, P. N. Kupang, D. N. Ully, J. T. Mesin, and P. N. Kupang, "Perancangan pack carburizing dengan metoda eksperimen sungguhan menggunakan arang lamtoro lokal pulau timor," vol. 10, no. 2, pp. 553–564, 2019.
- [14] O. Rerung, F. Sapar, and R. Dimu, "Experimental Design of Manganese Stone Minerals On Carbon Steel With Pack Carburizing Approach Using Factorial Methods," ICESC 2019, proceeding, 2019, doi: <a href="https://dx.doi.org/10.4108/eai.18-10-2019.22899770">https://dx.doi.org/10.4108/eai.18-10-2019.22899770</a>
- [15] O. Rerung, F. Sapar, and R. Dimu, "Factorial Identification on Surface Hardness of Cut Low Carbonsteel with Hardening Process using Manganese Minerals Powder," pp. 167–173, 2023, doi: https://dx.doi.org/10.5220/0010941700003260
- [16] M. Tolouei-Rad and E. Lichter, "The heat treatment analysis of E110 case hardening steel," J. Eng. Sci. Technol., vol. 11, no. 3, pp. 407–415, 2016.
- [17] M. Sui, M. Li, S. Kunwar, P. Pandey, Q. Zhang, and J. Lee, "Effects of annealing temperature and duration on the morphological and optical evolution of self-assembled Pt nanostructures on c-plane sapphire," pp. 1–18, 2017.
- [18] W. Gulo, "Metodologi Penelitian," 2546.
- [19] M. et all Prof. EL-Hebeary, "EFFECT OF CASE HARDENING PROCESS PARAMETERS OF ALLOY STEELS ON THEIR," vol. 62, no. 2, pp. 59–62, 2018.
- [20] P. Trihutomo, D. Teknik, M. Fakultas, T. Universitas, and N. Malang, "PENGARUH PROSES ANNEALING PADA HASIL PENGELASAN," no. 1, pp. 81–88, 2014.
- [21] M. P. Kumar, M. Krishna, N. V. S. Raju, and M. V. S. Kumar, "FAILURE CRITICALITY ANALYSIS USING FISHIKAWA DIAGRAM (A CASE STUDY OF DUMPERS AT OCP RAMAGUNDAM)," pp. 378–384, 2018.
- [22] M. Kritikos, L. C. Maure, A. A. L. Céspedes, D. R. D. Sobrino, and R. Hrušeckỳ, "A random factorial design of experiments study on the influence of key factors and their interactions on the measurement uncertainty: A case study using the ZEISS centermax," Appl. Sci., vol. 10, no. 1, 2020, doi: <a href="https://dx.doi.org/10.3390/app10010037">https://dx.doi.org/10.3390/app10010037</a>
- [23] D. Dewi and S. Sriyana, "Spesifikasi, Kode dan Standar Baja Nasional dan Potensinya untuk Mendukung Program PLTN Tipe LWR di Indonesia," J. Pengemb. Energi Nukl., vol. 20, no. 2, p. 111, 2019, doi: <a href="https://dx.doi.org/10.17146/jpen.2018.20.2.4516">https://dx.doi.org/10.17146/jpen.2018.20.2.4516</a>